

# Вычислительный фреймворк для электромеханической модели сердца

А. Легкий<sup>1,2</sup>, А. Чернышенко<sup>1</sup>

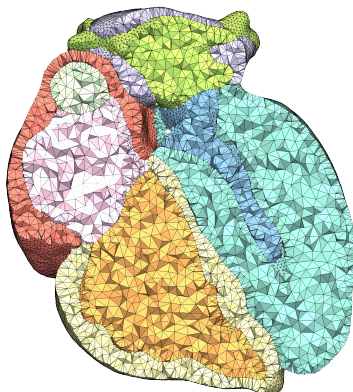
<sup>1</sup> Институт вычислительной математики им. Г.И. Марчука

<sup>2</sup> Московский физико-технический институт

BIOMATH 2020. 3 ноября 2020

# Modelling components for cardiac electromechanics

- 1 Geometrical models + mesh generation

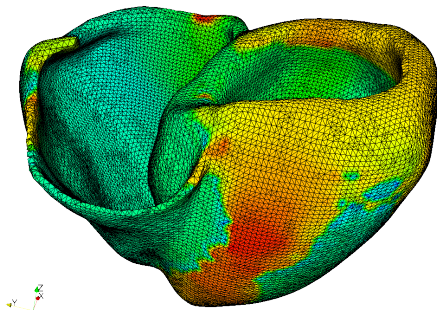


- VHP heart or ceCT/MRI data
- User-guided ITK-SNAP based segmentation
- CGAL/Gmsh + Ani3d



# Modelling components for cardiac electromechanics

- 1 Geometrical models + mesh generation
- 2 Tissue anisotropy - rule-based methods
- 3 Equations and numerical schemes



- Electrophysiology: monodomain/bidomain equations
- Ionic model (CellML model repository)
- Mechanics: active strain/active stress model

# Bidomain problem

Domain  $\Omega$  with boundary  $\partial\Omega$

$\phi_e$  extracellular electrical potential

$v$  transmembrane voltage

$$\begin{aligned}\chi \left( C_m \frac{\partial v}{\partial t} + I_{ion}(w, v) \right) - \nabla \cdot (\sigma_i \nabla (v + \phi_e)) &= I_i, \\ \nabla \cdot ((\sigma_i + \sigma_e) \nabla \phi_e + \sigma_i \nabla v) &= -I_{total}, \\ \frac{\partial w}{\partial t} &= f(w, v),\end{aligned}$$

+ b.c.

$C_m$  cell membrane capacitance,  $\chi$  - cell membrane surface-to-volume ratio

$\sigma_i$  &  $\sigma_e$  intra- & extracellular conductivity tensors

$I_i, I_e$  intra- and extra-cellular stimulus currents

$I_{total} = I_i + I_e$  total stimulus current

$I_{ion}$  - current in ionic channels,  $f$  cellular model,  $w$  - state variables

- FEM discretization on tetrahedral meshes
- implicit first order/BDF2 time scheme

## FEM system for bidomain problem

$$\begin{bmatrix} \kappa M + K_i & K_i \\ K_i & K_{i+e} \end{bmatrix} \begin{bmatrix} v^{n+1} \\ \phi_e^{n+1} \end{bmatrix} = \begin{bmatrix} M(\kappa v^n - \chi i_{ion} + i_i) \\ M i_{total} \end{bmatrix},$$

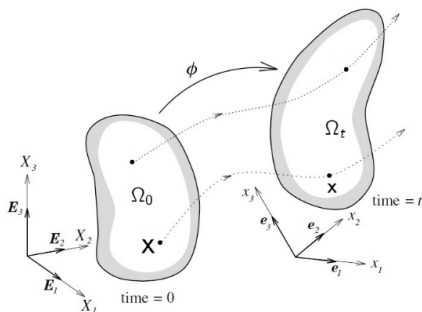
## FEM system for monodomain problem

$$[\kappa M + K] v^{n+1} = M(\kappa v^n - \chi i_{ion}^n + i_{stim})$$

$M$  - mass matrix,  $K_i$ ,  $K_{i+e}$  stiffness matrices  
 $i_{ion}$ ,  $i_i$ ,  $i_{total}$  - vectors of currents and stimulus.  
 $\kappa = \chi C_m / \tau$ ,  $\tau$  - timestep

# Parallel implementation

- Finite Element Method: Ani3D framework, BCGStab linear solver + ILU(0) preconditioner
- INMOST platform for MPI parallelization, ParMETIS for partitioning
- ODEs parallelization:
  - 1 CVODE solver and OpenMP
  - 2 Massively Parallel GPU-ODE Solver (MPGOS)
- **Verification:** A. Chernyshenko, A. Danilov, Y.Vassilevski, *Numerical Simulations for Cardiac Electrophysiology Problems// BIOMAT 2018 book.*
- **Parallel Performance:** A. Chernyshenko, A. Danilov, V. Kramarenko, *Coupling of PDE and ODE Solvers in INMOST Parallel Platform: Application to Electrophysiology//RuSCDays 2019*



- $X \in \Omega_0$  - начальное состояние,  $x \in \Omega_t$  - текущее состояние
- $x = \phi(X, t)$  - деформация
- $u = x - X$  - перемещение
- $\mathbb{F}$  - градиент деформации,  $\mathbb{E}$  - тензор деформации Коши-Грина

$$\mathbb{F} = \frac{\partial \phi}{\partial X} = \mathbb{I} + \frac{\partial u}{\partial X}, \quad \mathbb{E} = \frac{1}{2}(\mathbb{F}^T \mathbb{F} - \mathbb{I}), \quad J = \det \mathbb{F}$$

# Cardiac mechanic equations

Уравнения модели:

- Уравнение равновесия ( $\mathbb{P}$  - первый тензор напряжений Пиола-Кирхгофа):

$$-\nabla_j \mathbb{P}_{ij} = 0 \text{ в } \Omega^0$$

- Условие несжимаемости:

$$J - 1 = 0 \text{ в } \Omega^0$$

- Смешанные граничные условия ( $\partial\Omega^0 = \Gamma_D \cup \Gamma_N \cup \Gamma_p$ ):

$$u = 0 \text{ на } \Gamma_D, \mathbb{P} \cdot n = 0 \text{ на } \Gamma_N, \mathbb{P} \cdot n = -p_0 \mathbb{I} \cdot n \text{ на } \Gamma_p$$

- Условие гиперупругости, несжимаемости и наличие активного напряжения ( $\mathcal{W}$  - упругий потенциал,  $p$  - множитель Лагранжа,  $f$  - направление волокон):

$$\mathbb{P} = \mathbb{F} \frac{\partial \mathcal{W}}{\partial \mathbb{E}} - p J \mathbb{F}^{-T}$$

# Cardiac mechanic equations

Уравнения модели:

- Уравнение равновесия ( $\mathbb{P}$  - первый тензор напряжений Пиола-Кирхгофа):

$$-\nabla_j \mathbb{P}_{ij} = 0 \text{ в } \Omega^0$$

- Условие несжимаемости:

$$J - 1 = 0 \text{ в } \Omega^0$$

- Смешанные граничные условия ( $\partial\Omega^0 = \Gamma_D \cup \Gamma_N \cup \Gamma_p$ ):

$$u = 0 \text{ на } \Gamma_D, \mathbb{P} \cdot n = 0 \text{ на } \Gamma_N, \mathbb{P} \cdot n = -p_0 \mathbb{I} \cdot n \text{ на } \Gamma_p$$

- Условие гиперупругости, несжимаемости и наличие активного напряжения ( $\mathcal{W}$  - упругий потенциал,  $p$  - множитель Лагранжа,  $f$  - направление волокон):

$$\mathbb{P} = \mathbb{F} \frac{\partial \mathcal{W}}{\partial \mathbb{E}} - p J \mathbb{F}^{-T} + \mathbb{F} T^a f \otimes f$$

# Coupled model. Active strain, first steps

- Подход активных деформаций ( $\mathbb{F}_e$  - пассивная деформация,  $\mathbb{F}_a$  - активная,  $\mathbf{f}$  - продольное направление волокон,  $\mathbf{t}$  - поперечное):

$$\mathbb{F} = \mathbb{F}_e \mathbb{F}_a \Rightarrow \mathbb{F}_e = \mathbb{F} \mathbb{F}_a^{-1}$$

$$\mathbb{F}_a = \mathbb{I} + \gamma_f \mathbf{f} \otimes \mathbf{f} + \gamma_t \mathbf{t} \otimes \mathbf{t}, \quad J_a = \det \mathbb{F}_a$$

- Упругий потенциал (простая модель - Neo-Hookean,  $\mu$  - задано):

$$\mathcal{W} = J_a \hat{\mathcal{W}}, \quad \hat{\mathcal{W}}(\mathbb{F}_e) = \frac{\mu}{2} \text{tr}(\mathbb{F}_e^T \mathbb{F}_e - \mathbb{I})$$

- Механо-электрическое взаимодействие ( $\beta, \varepsilon_1, c_0^*, c_R, v_{min}, v_{max}$  - заданы):

$$\gamma_f(v, [Ca]_+) = -\beta \frac{v - v_{min}}{v_{max} - v_{min} + v} + \varepsilon_1 \beta \frac{l_0'}{1 + \eta([Ca]_+)(l_0' - 1)}, \quad \gamma_t = -\frac{\gamma_f}{1 + \gamma_f}$$

F.Nobile, A.Quarteroni, R.Ruiz-Baier, *An active strain electromechanical model for cardiac tissue* // 2011

- Подход активных деформаций ( $\mathbb{F}_e$  - пассивная деформация,  $\mathbb{F}_a$  - активная,  $\mathbf{f}$  - продольное направление волокон,  $\mathbf{t}$  - поперечное):

$$\mathbb{F} = \mathbb{F}_e \mathbb{F}_a \Rightarrow \mathbb{F}_e = \mathbb{F} \mathbb{F}_a^{-1}$$

$$\mathbb{F}_a = \mathbb{I} + \gamma_f \mathbf{f} \otimes \mathbf{f} + \gamma_t \mathbf{t} \otimes \mathbf{t}, \quad J_a = \det \mathbb{F}_a$$

- Monodomain electromechanical system

$$-\nabla \cdot (\mu J_a (\mathbb{I} + \nabla u) \mathbb{F}_a^{-1} \mathbb{F}_a^{-T} - \rho J (\mathbb{I} + \nabla u)^{-T}) = 0, \quad \text{в } \Omega_0$$

$$J = 1 \quad \text{в } \Omega_0$$

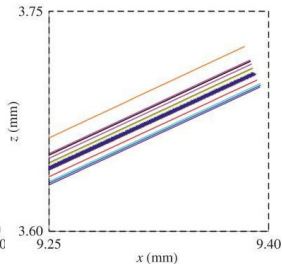
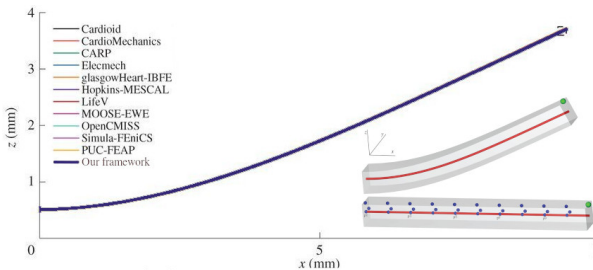
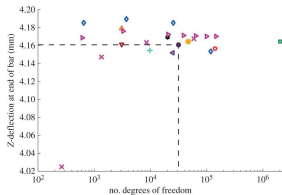
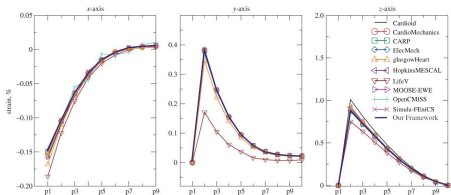
$$\chi \left( C_m \frac{\partial J_v}{\partial t} + J I_{ion} \right) - \nabla \cdot (J (\mathbb{I} + \nabla u)^{-1} \sigma (\mathbb{I} + \nabla u)^{-T} \nabla v) = J I_i, \quad \text{в } \Omega_T$$

F.Nobile, A.Quarneroni, R.Ruiz-Baier, *An active strain electromechanical model for cardiac tissue* // 2011

- МКЭ (P2-P1)
- INMOST
- CasADi для автоматического дифференцирования
- Верификация на серии бенчмарков  
Land S., et. al, *Verification of cardiac mechanics software: benchmark problems and solutions for testing active and passive material behaviour* // 2015

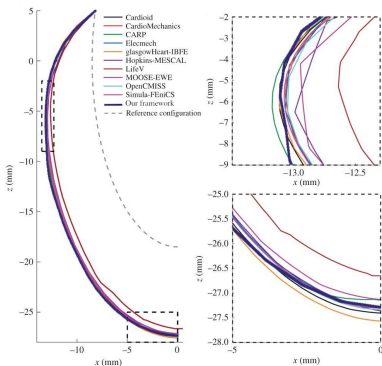
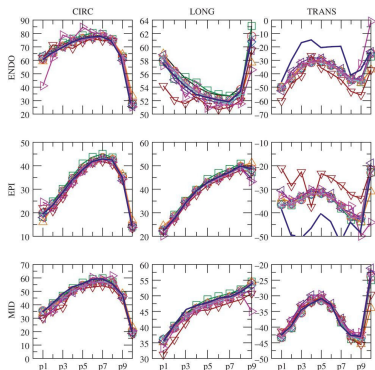
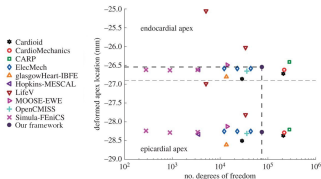
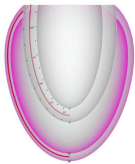
# Cardiac mechanics. Benchmark 1

## Изгиб прямоугольной балки



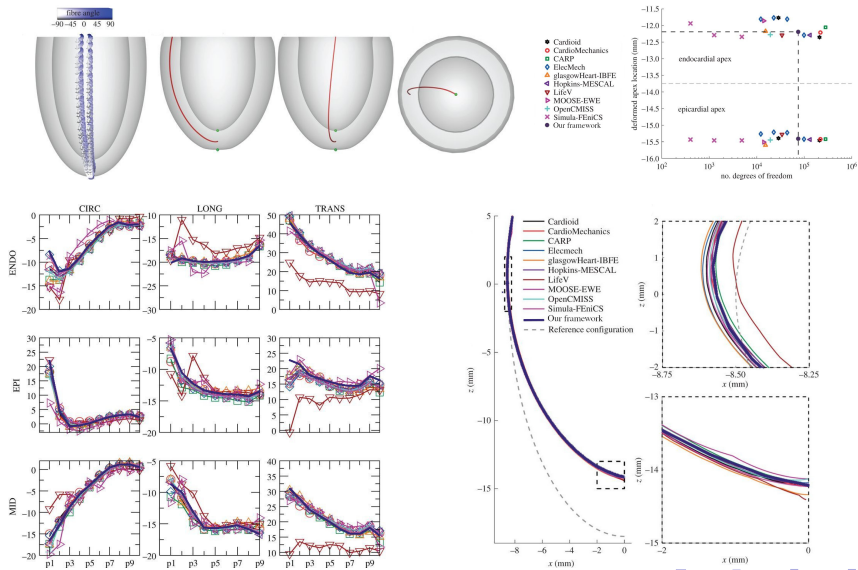
# Cardiac mechanics. Benchmark 2

Раздутие изотропного эллипсоида



# Cardiac mechanics. Benchmark 3

Раздутие анизотропного эллипсоида с активным напряжением



- Представлены численные методы вычислительного фреймворка для электромеханической модели сердца
- Электрофизиологический солвер верифицирован, исследована параллельная эффективность
- Механический солвер верифицирован на серии бенчмарков
- Проводится тестирование общей задачи

Спасибо за внимание!